

# Atividade 2 – Condução Unidimensional Transiente

Gilberto Ribeiro Pinto Júnior – RA 203324

Agosto de 2022

## 1 Enunciado

Determinar as distribuições de temperaturas em diversos tempos ao longo de uma aleta de seção transversal uniforme retangular de dimensões  $L = 1$  m,  $P = 0.4$  m e  $A_c = 0.01$  m<sup>2</sup> cuja condutividade térmica é  $k = 100$  W/m·K submetida à uma temperatura em sua base de  $T_b = 300$  °C e estando em um ambiente cuja temperatura é  $T_\infty = 20$  °C e coeficiente de transferência de calor por convecção médio é  $h = 10$  W/m<sup>2</sup> · K. O tempo necessário para se atingir o regime permanente deve ser determinado através da solução numérica empregando o Método dos Volumes Finitos para pelo menos 3 passos de tempo distintos e para 5 e 10 nós.

## 2 Resolução

Realizando um balanço de energia em um elemento infinitesimal da aleta, obtém-se a seguinte equação diferencial para a determinação do perfil de temperaturas ao longo de seu eixo  $x$  considerando sua variação com o tempo:

$$\rho A_c c_p \frac{\partial T}{\partial t} = k A_c \frac{\partial^2 T}{\partial x^2} - h P (T - T_\infty) \quad (1)$$

que pode ser reescrita como

$$\rho \frac{\partial T}{\partial t} = \frac{k}{c_p} \frac{\partial^2 T}{\partial x^2} - n^2 (T - T_\infty) \quad (2)$$

com

$$n^2 = \frac{hP}{A_c c_p} \quad (3)$$

cujas condições de contorno adotadas são a temperatura fixa na base da aleta (condição de Dirichlet):

$$T(x = 0) = T_b \quad (4)$$

e a transferência de calor por convecção em sua extremidade (condição de Neumann):

$$-k \left. \frac{dT}{dx} \right|_{x=L} = h [T(x = L) - T_\infty] \quad (5)$$

e a condição inicial é de que a aleta está em equilíbrio térmico com o ambiente:

$$T(t = 0) = T_\infty \quad (6)$$

Dessa forma, pode-se obter o perfil de temperaturas ao longo do eixo da aleta através de uma solução numérica.

### 2.1 Solução numérica

A solução numérica será realizada empregando o Método dos Volumes Finitos que consiste em integrar as equações de conservação em diversos volumes de controles contíguos na qual o domínio fora subdividido. A integração é aproximada através de esquemas de discretização e as variáveis são calculadas nos nós de tais volumes (VERSTEEG; MALALASEKERA, 2007). Para o caso em questão, a equação de conservação é a Equação 1 que será integrada em VCs idênticos de tamanho  $\Delta V = A_c \Delta x$  e no intervalo de  $t$  a  $t + \Delta t$ :

$$\underbrace{\int_t^{t+\Delta t} \int_{VC} \rho \frac{\partial T}{\partial t} dV dt}_{(i)} = \underbrace{\int_t^{t+\Delta t} \int_{VC} \frac{k}{c_p} \frac{\partial^2 T}{\partial x^2} dV dt}_{(ii)} - \underbrace{\int_t^{t+\Delta t} \int_{VC} n^2 (T - T_\infty) dV dt}_{(iii)} \quad (7)$$

O termo (i) da Equação 7 representa o termo de acúmulo e é integrado como a seguir, considerando  $\rho$  constante:

$$\int_{VC} \int_t^{t+\Delta t} \rho \frac{\partial T}{\partial t} dt dV = \int_{VC} \rho (T_P - T_P^0) dV = \rho (T_P - T_P^0) \Delta V = \rho (T_P - T_P^0) A_c \Delta x \quad (8)$$

sendo  $T_P$  a temperatura no nó  $P$  em  $t + \Delta t$  e  $T_P^0$  a temperatura no mesmo nó no tempo  $t$ , anterior a um passo  $\Delta t$ .

Já o termo (ii), denominado como termo difusivo, é integrado da seguinte forma, considerando  $k$  e  $c_p$  constantes:

$$\int_t^{t+\Delta t} \int_{VC} \frac{k}{c_p} \frac{\partial}{\partial x} \left( \frac{\partial T}{\partial x} \right) dV dt = \int_t^{t+\Delta t} \int_{SC} \frac{k}{c_p} \frac{\partial T}{\partial x} dA dt = \frac{k}{c_p} A_c \int_t^{t+\Delta t} \left( \frac{\partial T}{\partial x} \Big|_e - \frac{\partial T}{\partial x} \Big|_w \right) dt \quad (9)$$

Para a integração no tempo dos termos (ii) e (iii), é generalizada uma aproximação através de um parâmetro de ponderação  $\theta$ , que varia de 0 a 1. Assim, a integral  $I_T$  da temperatura  $T_P$  pode ser escrita como

$$I_T = \int_t^{t+\Delta t} T_P dt = [\theta T_P + (1 - \theta) T_P^0] \Delta t \quad (10)$$

A Equação 9 pode ser discretizada para cada um dos  $n$  nós centrados nos volumes de controle. Adotando diferenças centrais como esquema de discretização, obtém-se para  $1 < i < n$ :

$$\frac{k}{c_p} A_c \int_t^{t+\Delta t} \left( \frac{T_E - T_P}{\Delta x} - \frac{T_P - T_W}{\Delta x} \right) dt = \frac{k A_c}{c_p \Delta x} [\theta (-2T_P + T_E + T_W) + (1 - \theta) (-2T_P^0 + T_E^0 + T_W^0)] \Delta t \quad (11)$$

Já para  $i = 1$ , é necessário aplicar a condição de contorno da Equação 4 para determinar o fluxo na superfície da base da aleta ( $w$ ). Assim:

$$\frac{k}{c_p} A_c \int_t^{t+\Delta t} \left( \frac{T_E - T_P}{\Delta x} - \frac{T_P - T_b}{\frac{\Delta x}{2}} \right) dt = \frac{k A_c}{c_p \Delta x} [\theta (-3T_P + T_E) + (1 - \theta) (-3T_P + T_E) + 2T_b] \Delta t \quad (12)$$

Do mesmo modo, necessita-se empregar a condição de contorno na superfície da extremidade da aleta (Equação 5) para determinar o fluxo nessa região ( $e$ ). Dessa forma, obtém-se para  $i = n$ :

$$\begin{aligned} \frac{k}{c_p} A_c \int_t^{t+\Delta t} \left( \frac{T_f - T_P}{\frac{\Delta x}{2}} - \frac{T_P - T_W}{\Delta x} \right) dt = \\ \frac{k A_c}{c_p \Delta x} \left\{ \theta \left[ \left( -\frac{2h\Delta x}{2k + h\Delta x} - 1 \right) T_P + T_W \right] + (1 - \theta) \left[ \left( -\frac{2h\Delta x}{2k + h\Delta x} - 1 \right) T_P^0 + T_W^0 \right] + \frac{2hT_\infty \Delta x}{2k + h\Delta x} \right\} \Delta t \end{aligned} \quad (13)$$

uma vez que a temperatura assumida na extremidade da aleta  $T_f$  é determinada reordenando a Equação 5 discretizada por diferenças centrais:

$$T_f = \frac{2kT_P + hT_\infty \Delta x}{2k + h\Delta x} \quad (14)$$

Por fim, o termo (iii), considerado como termo fonte, é integrado a:

$$\int_t^{t+\Delta t} n^2 (T - T_\infty) \Delta V dt = \int_t^{t+\Delta t} n^2 (T - T_\infty) A_c \Delta x dt = n^2 [\theta T_P - (1 - \theta) T_P^0 - T_\infty] A_c \Delta x \Delta t \quad (15)$$

Substituindo as Equações 8, 15 e, para cada  $i$  específico, as Equações 11, 12 ou 13 na Equação 7, obtém-se a seguinte forma geral da equação discretizada:

$$a_P T_P = \theta a_W T_W + \theta a_E T_E + \underbrace{(1 - \theta) a_W T_W^0 + (1 - \theta) a_E T_E^0 + [a_P^0 - (1 - \theta) (a_W + a_E - S_P)] T_P^0 + S_u}_B \quad (16)$$

com

$$a_P^0 = \frac{\rho \Delta x}{\Delta t} \quad (17)$$

$$a_P = a_P^0 + \theta (a_W + a_E - S_P) \quad (18)$$

cujos coeficientes são encontrados na Tabela 1.

Nó	$a_W$	$a_E$	$S_P$	$S_u$
$i = 1$	0	$\frac{k}{c_p \Delta x}$	$-n^2 \Delta x - \frac{2k}{c_p \Delta x}$	$n^2 T_\infty \Delta x + \frac{2k}{c_p \Delta x} T_b$
$1 < i < n$	$\frac{k}{c_p \Delta x}$	$\frac{k}{c_p \Delta x}$	$-n^2 \Delta x$	$n^2 T_\infty \Delta x$
$i = n$	$\frac{k}{c_p \Delta x}$	0	$-n^2 \Delta x - \frac{2hk}{c_p(2k + h\Delta x)}$	$n^2 T_\infty \Delta x + \frac{2hk}{c_p(2k + h\Delta x)} T_\infty$

**Tabela 1:** Expressões para os coeficientes das Equações 16 e 18.

Assim, para cada nó  $i$  existe uma equação algébrica que retorna o valor de  $T_P$ , mas que depende de tal valor para os nós adjacentes ( $T_W$  e  $T_E$ ) e/ou de seus valores no passo de tempo anterior ( $T_P^0$ ,  $T_W^0$  e  $T_E^0$ ). Logo, é necessário resolver simultaneamente todas as equações algébricas por meio de um sistema de equações caracterizado por uma matriz tridiagonal quando  $\theta > 0$ . Para  $n = 5$ , o sistema de equações é representado como a seguir:

$$\begin{bmatrix} a_{P,1} & -\theta a_{E,1} & 0 & 0 & 0 \\ -\theta a_{W,2} & a_{P,2} & -\theta a_{E,2} & 0 & 0 \\ 0 & -\theta a_{W,3} & a_{P,3} & -\theta a_{E,3} & 0 \\ 0 & 0 & -\theta a_{W,4} & a_{P,4} & -\theta a_{E,4} \\ 0 & 0 & 0 & -\theta a_{W,5} & a_{P,5} \end{bmatrix} \cdot \begin{bmatrix} T_1 \\ T_2 \\ T_3 \\ T_4 \\ T_5 \end{bmatrix} = \begin{bmatrix} B_1 \\ B_2 \\ B_3 \\ B_4 \\ B_5 \end{bmatrix} \quad (19)$$

em que  $B$  são os termos agrupados como indicado na Equação 16.

## 2.2 Resultados e discussão

Os cálculos foram realizados no software de computação numérica *Octave*. Foi adotado para a discretização temporal o esquema completamente implícito, ou seja, fazendo  $\theta = 1$ . Assim, cada novo valor de  $T_P$  prevalece por todo passo de tempo  $\Delta t$  e, como  $T_P$  é obtido a partir de  $T_W$  e  $T_E$ , torna-se necessária a resolução de um sistema de equações a cada passo de tempo.

O critério de convergência empregado para se considerar que o regime estacionário tenha sido alcançado foi o cálculo do resíduo absoluto máximo entre os valores de temperaturas de cada passo e aqueles calculados numericamente na Atividade 1, em que a equação de conservação discretizada não compreendia o termo de acúmulo (Tabelas 2 e 3). A tolerância adotada para o resíduo foi de 0.001 °C.

$x$ (m)	$T_{\text{numérico}}$ (°C)	$T_{\text{analítico}}$ (°C)
0.1	246.921	251.083
0.3	177.070	179.479
0.5	132.350	133.734
0.7	105.607	106.431
0.9	92.560	93.142

**Tabela 2:** Temperaturas calculadas numérica e analiticamente para 5 nós ao longo do eixo  $x$  da aleta.

$x$ (m)	$T_{\text{numérico}}$ (°C)	$T_{\text{analítico}}$ (°C)
0.05	273.053	274.269
0.15	229.280	230.209
0.25	193.879	194.585
0.35	165.434	165.969
0.45	142.805	143.210
0.55	125.089	125.397
0.65	111.576	111.813
0.75	101.726	101.914
0.85	95.145	95.302
0.95	91.570	91.713

**Tabela 3:** Temperaturas calculadas numérica e analiticamente para 10 nós ao longo do eixo  $x$  da aleta.

A Tabela 4 apresenta o tempo necessário para a simulação numérica atingir o estado estacionário  $t_{ss}$  conforme o critério de convergência estabelecido para distintos passos de tempo  $\Delta t$ , variando de 0.05 s até 1000 s, e para os 5 e 10 volumes de controle. Já a Figura 1 mostra, em escala logarítmica, a diferença entre  $t_{ss}$  de determinado  $\Delta t$  e  $t_{ss}$  de  $\Delta t = 0.05$  s. A princípio, percebe-se que, à medida que  $\Delta t$  diminui,  $t_{ss}$  também decremente até convergir em determinado valor. Observa-se que, quando  $\Delta t \leq 1$ , as diferenças entre tais valores limitam-se às unidades, diferente do que ocorre quando  $\Delta t > 1$ . Ressalta-se ainda que, mesmo para passos de tempo elevados, como aqueles maiores que 100, a solução numérica ainda converge aos valores de temperatura determinados para o regime permanente.

Tais observações são justificadas uma vez que, no esquema completamente implícito ( $\theta = 1$ ), todos os coeficientes da Equação 16 são positivos, tornando tal esquema incondicionalmente estável para qualquer valor de  $\Delta t$ . Entretanto, por ser de primeira ordem de precisão no tempo, pequenos valores de  $\Delta t$  são necessários para garantir resultados precisos (PATANKAR, 1980). Vale apontar que, assumindo o esquema de discretização completamente implícito

e a situação de estado estacionário ( $\Delta t \rightarrow \infty$ ), a Equação 16 torna-se aquela desenvolvida apenas para o regime permanente (Atividade 1):

$$a_P T_P = a_W T_W + a_E T_E + S_u \quad (20)$$

com

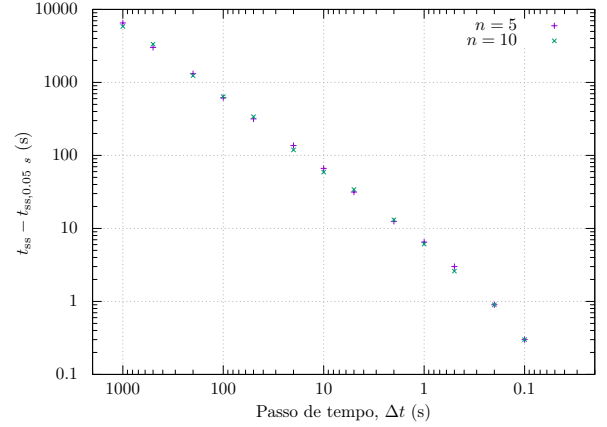
$$a_P = a_W + a_E - S_P \quad (21)$$

cujos coeficientes são aqueles encontrados na Tabela 1 multiplicados por  $\frac{c_p}{k}$ .

Por fim, verifica-se também que a quantidade de nós usados na discretização espacial influencia no valor de  $t_{ss}$ , inferindo-se que, quanto mais fina a malha, mais próximo do real se torna tal valor. Para  $t_{ss} \leq 1$ , por exemplo, a diferença entre os tempos de convergência até o estado estacionário de  $n = 5$  e  $n = 10$  é de cerca de 323 s.

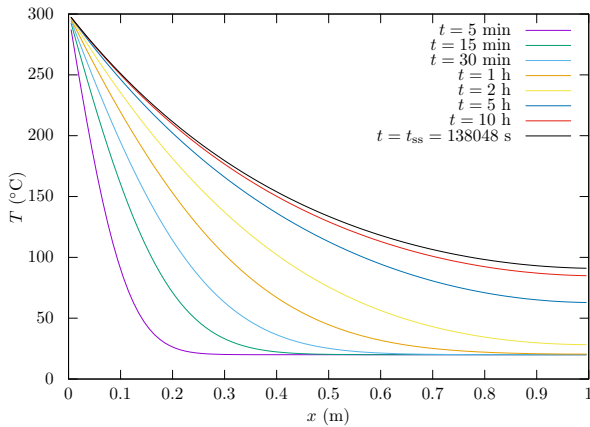
$\Delta t$ (s)	$t_{ss}$ (s), $n = 5$	$t_{ss}$ (s), $n = 10$
1000	145000.00	144000.00
500	141500.00	141500.00
200	139800.00	139400.00
100	139100.00	138800.00
50	138800.00	138500.00
20	138620.00	138280.00
10	138550.00	138220.00
5	138515.00	138195.00
2	138496.00	138174.00
1	138490.00	138167.00
0.5	138486.50	138163.50
0.2	138484.40	138161.80
0.1	138483.80	138161.20
0.05	138483.50	138160.90

**Tabela 4:** Tempo necessário para se alcançar o estado estacionário para cada valor de  $\Delta t$  adotado para 5 e 10 volumes de controle.

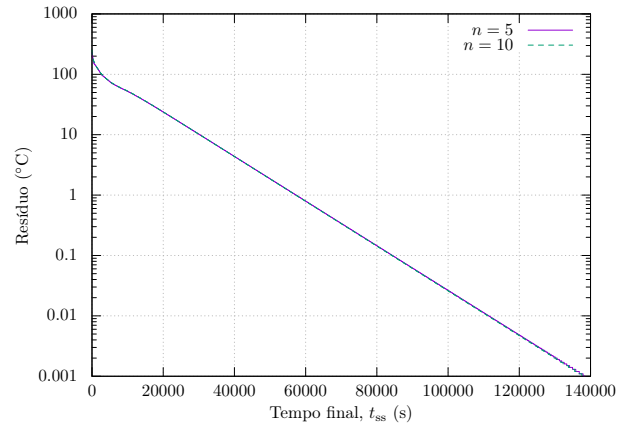


**Figura 1:** Diferença entre  $t_{ss}$  de determinado  $\Delta t$  e  $t_{ss}$  de  $\Delta t = 0.05$  s para 5 e 10 volumes de controle.

A Figura 2 traz os perfis de temperaturas para diferentes tempos de um caso com  $n = 100$  volumes de controle e passo de tempo de  $\Delta t = 1$  s. Percebe-se que as maiores variações de temperatura ocorrem nos primeiros momentos, como até cerca de 10 h. Após, a aleta passa a convergir mais paulatinamente para o estado estacionário. A Figura 3 também mostra tal comportamento ao apresentar o resíduo entre as temperaturas a cada tempo com aquelas determinadas na solução numérica para o regime permanente para quando  $\Delta t = 0.1$  s.



**Figura 2:** Perfis de temperaturas na aleta para diversos tempos de um caso com  $n = 100$  e  $\Delta t = 1$  s.



**Figura 3:** Resíduo em função do tempo decorrido para simulação com passo de tempo  $\Delta t = 0.1$  s para 5 e 10 volumes de controle.

Dessa forma, conclui-se que o emprego do esquema de discretização completamente implícito é capaz de convergir para o regime permanente mesmo com passos de tempo elevados, contudo tais valores devem ser pequenos para garantir uma solução numérica precisa, assim como o faz um bom refinamento da malha.

## Referências

PATANKAR, Suhas V. **Numerical heat transfer and fluid flow**. [S.l.]: Hemisphere Publishing Corp., 1980. 210 p. ISBN 0-89116-522-3.

VERSTEEG, H. K.; MALALASEKERA, W. **An Introduction to Computational Fluid Dynamics: The Finite Volume Method**. 2. ed. [S.l.]: Pearson Education Limited, 2007. ISBN 978-0-13-127498-3.

## Apêndice A – Códigos usados para a solução numérica

A solução numérica empregando o Método dos Volumes Finitos foi realizada utilizando o seguintes códigos desenvolvidos no software *Octave* em sua versão 6.4.0:

```
1 clear all, close all, clc, clf
2 % Parâmetros globais
3 global L P Ac Tb Tinf cp rho k h
4 L = 1; %m
5 P = 0.4; %m
6 Ac = 0.01; %m2
7 Tb = 300; %°C
8 Tinf = 20; %°C
9 cp = 1000; %J/kg.K
10 rho = 7800; %kg/m3
11 k = 100; %W/m.K
12 h = 10; %W/m2.K
13 % Parâmetros de entrada
14 theta = 1;
15 tol = 1E-3;
16 % Saída
17 for n = [5 10]
18     for dt = [1000 500 200 100 50 20 10 5 2 1 0.5 0.2 0.1 0.05]
19         tic
20         [xss,Tss] = aleta_permanente(n);
21         [x,t,T,r] = aleta_transiente(theta,n,dt,tol,Tss);
22         elapsed_time = toc
23         name = sprintf('theta-%.1f_n-%d_dt-%.4f_tol-%.1E_tf-%.4f',theta,n,dt,tol,t(end));
24         save(sprintf('%s.mat',name));
25     endfor
26 endfor
```

```
1 function [x,T] = aleta_permanente(n)
2     global L P Ac Tb Tinf k h
3     m2 = (h*P)/(k*Ac);
4     dx = L/n;
5     x = linspace(dx/2,L-dx/2,n)';
6     A = zeros(n,n);
7     for i = 1:n
8         if i == 1
9             aW = 0;
10            aE = 1/dx;
11            Sp = -m2*dx-2/dx;
12            Su = m2*Tinf*dx+2*Tb/dx;
13            A(i,i+1) = -aE;
14        elseif i == n
15            aW = 1/dx;
16            aE = 0;
17            Sp = -m2*dx-1/(k/h+dx/2);
18            Su = m2*Tinf*dx+Tinf/(k/h+dx/2);
19            A(i,i-1) = -aW;
20        else
21            aW = 1/dx;
22            aE = 1/dx;
23            Sp = -m2*dx;
24            Su = m2*Tinf*dx;
25            A(i,i+1) = -aE;
26            A(i,i-1) = -aW;
27        endif
28        aP = aW+aE-Sp;
29        A(i,i) = aP;
30        B(i) = Su;
31    endfor
```

```

32     T = A\B';
33 endfunction

```

```

1  function [x,t,T,r] = aleta_transiente(theta,n,dt,tol,Tss)
2      global L P Ac Tb Tinf cp rho k h
3      n2    = (h*P)/(cp*Ac);
4      dx    = L/n;
5      x     = linspace(dx/2,L-dx/2,n)';
6      A     = zeros(n,n);
7      j     = 1;
8      t(j)  = 0;
9      T0    = Tinf*ones(n,1);
10     T(:,j) = T0;
11     res    = @(a,b) max(abs(a-b));
12     r(j)   = res(T(:,j),Tss);
13     while res(T(:,j),Tss) > tol
14         for i = 1:n
15             if i == 1
16                 aW    = 0;
17                 aE    = k/(cp*dx);
18                 Sp    = -n2*dx-2*k/(cp*dx);
19                 Su    = n2*Tinf*dx+2*k/(cp*dx)*Tb;
20                 Tw0   = 0;
21                 Te0   = T(i+1,j);
22                 A(i,i+1) = -theta*aE;
23             elseif i == n
24                 aW    = k/(cp*dx);
25                 aE    = 0;
26                 Sp    = -n2*dx-2*h*k/(cp*(2*k+h*dx));
27                 Su    = n2*Tinf*dx+2*h*k/(cp*(2*k+h*dx))*Tinf;
28                 Tw0   = T(i-1,j);
29                 Te0   = 0;
30                 A(i,i-1) = -theta*aW;
31             else
32                 aW    = k/(cp*dx);
33                 aE    = k/(cp*dx);
34                 Sp    = -n2*dx;
35                 Su    = n2*Tinf*dx;
36                 Tw0   = T(i-1,j);
37                 Te0   = T(i+1,j);
38                 A(i,i+1) = -theta*aE;
39                 A(i,i-1) = -theta*aW;
40             endif
41             aP0    = rho*dx/dt;
42             aP     = aP0+theta*(aW+aE-Sp);
43             Tp0    = T(i,j);
44             A(i,i) = aP;
45             B(i)   = (1-theta)*aW*Tw0+(1-theta)*aE*Te0+(aP0-(1-theta)*(aW+aE-Sp))*Tp0+Su;
46         endfor
47         t(j+1)    = t(j)+dt;
48         T(:,j+1) = A\B';
49         r(j+1)    = res(T(:,j+1),Tss);
50         disp(sprintf('n = %d | dt = %.4f | r = %.4E | t = %.4f',n,dt,r(j+1),t(j+1)))
51         j++;
52     endwhile
53     r = r';
54     t = t';
55     T = T';
56 endfunction

```